

宇都宮 大學 正 員 長石部 正彦  
東京工業大學 正 員 日野 幹雄

## 1. まえがき

本報告は、安定同位体  $O^{18}$  を用いての流出分離<sup>(1)</sup>とフィルター分離 A.R. 法(透探法)による流出分離とを比較して、分離した地下水流出成分について検討するものである。なお、ここでは、前論文<sup>(1)</sup>に、さらに解析例を増やしている。この結果、本解析の淡水の地下水流出成分には、毛管水効果(Capillary fringe effect)によるものと考えられる早い応答を示す流出成分と遅い応答を示す地下水流出成分が存在することが示された。

## 2. 安定同位体比 ( $\delta^{18}\text{O}$ ) による流出分離

解析流域は、カナダのケベック市の80 Km 北側の Ruisseau des Eaux Volées 流域<sup>(2)</sup>である。安定同位体比( $\delta^{18}\text{O}$ )は、下記式で定義される。なお、図-1に解析例を示す。

$$\delta^{*}O = \left( \frac{R_s}{R_{std}} - 1 \right) \times 1000 (\%) \quad \dots \dots \dots (1)$$

：：K,  $R_s$ :  $0^{\circ}\text{C}/0^{\circ}\text{C}$ ,  $R_{std}$  :  $R$  の標準試料。

さて、安定同位体比( $\delta^{18}\text{O}$ )による流出分離は、質量保存式と連続式により下記式により行われる。

$$\left. \begin{aligned} y(t) &= y^{(1)}(t) + y^{(2)}(t) \\ C(t)y(t) &= C^{(1)}(t)y^{(1)}(t) + C^{(2)}(t)y^{(2)}(t) \end{aligned} \right\} \quad \boxed{1} \quad (2)$$

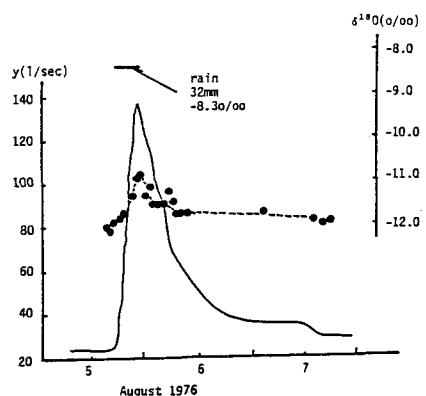
ここに、 $y(t)$ ；全流出量、 $C(t)$ ；全流出量の $\mu^{18}\text{O}$ 濃度、工行<sup>18</sup>O添字(1), (2)は、地下水水流系、中間・表面流出系を示す。本研究の解析例での地下水流出成分とて者面・中間流出成分(降雨)の $\mu^{18}\text{O}$ 濃度は、一定として下記の値をとる。

$$C^{(1)} = -12.0 \text{ \%}, \quad C^{(2)} = -8.3 \text{ \%}$$

ここで、安定同位体比  $\delta^{18}\text{O}$  濃度  $C(t)$  そして全流出量  $q(t)$  は文献<sup>(2)</sup>の論文から読み取った値である。図-2に(2)式より、地下水水流出成分と中間流出成分とに流出分離したものを示す。

### 3. フィルタ-分離AR法による流出分離（基底流出量）

従来まで、基底流出量を全流量から差し引いて地下水流成分と中間あるのは表面流出成分に流出分離してたが、より0つより地盤化學的手法を用いて流出分離する基底流出量を除いて解析あるわけにはいかない。それ故、本解析は簡便でも、まず、基底流量を差し引く必要がある。そこで、過去の経験的な方法つまり淡水遮蔽部の変曲点と基底流出量からの立ち上がり部とを直線で結ぶ基底流量を除く方法とフィルター分離AR法により基底流量を除く方法とを比較して図-3に示す。両者は良く一致していることが理解できる。



- 1

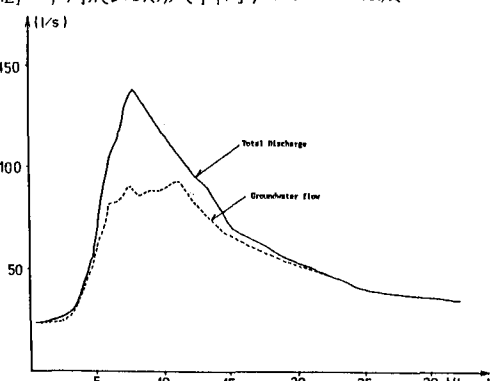


图-2

#### 4. $\delta^{18}\text{O}$ による流出分離とフィルタ-分離AR法による

##### 流出分離の比較

図-2, 図-3の両図から、同じ地下水流出成分でも地球化学的方法で流出分離された地下水成分のほうが、フィルタ-分離AR法により流出分離されたその成分より大きい。この理由として、前論文<sup>(2)</sup>、Sklash & Farvolden と R.N.Gilham<sup>(3)</sup>は、地下水流出成分には、毛管水縁効果(Capillary fringe effect)により早く流出する成分が存在することを指していいる。これらの論文によれば、毛管水縁は、地下水水面と水理的に直接接觸した水を含む不飽和帯で、毛管力により地下水面上に保持されている地帯があるということである。このように、毛管水縁効果により早い応答特性をもつ地下水流出成分が存在することが示されていいる<sup>(2)</sup>。

以上のことから、図-4のハッテした流出部分が、毛管水縁効果による早い応答特性をもつ地下水流出成分と推定される。

#### 5. 早い応答特性をもつ地下水流出成分への逆探査法の適用

また、全流量から、フィルタ-分離AR法により推定した速い応答特性をもつ地下水流出成分を差し引いたハイドログラフの過濾部の流量を図-5に示す。この図から、基底流量を除く成分の過濾部の勾配から求めた時定数  $T_c$  は、9 hour位である。

次に、上記の時定数  $T_c$  と  $\delta$  (本報告では、2.1) を用いて、数値フィルタ-により流出分離する。流出分離した結果と先に地球化学的手段により求められた地下水流出系の早い応答特性を示す成分との比較を図-6に示す。両者は、ほぼ一致している。このことは、毛管水縁効果により早い応答をもつ地下水成分が、数値フィルタ-で流出分離された逆探査法により解析された。

#### 6. あとがき

ここに示した解説例により早い応答特性をもつ地下水流出成分をフィルタ-分離AR法により解析し説明ができることが明らかにしたが、今後は、このような例をもう少し解析して検討していく必要があると思われる。

#### 参考文献

- (1) 日野幹雄・長谷部正彦：地球化学的  $\delta^{18}\text{O}$  とフィルタ-分離AR法による流出成分分離について、第28回国水講。
- (2) M.G. Sklash & Farvolden. R.N. 1979 ; The role of groundwater in storm runoff, The George Burke Maxey Memorial Vol. J. Hydrol. 43
- (3) Gilham. R.W., 1984 ; The capillary fringe and its effect on water table response, J. Hydrol. 67

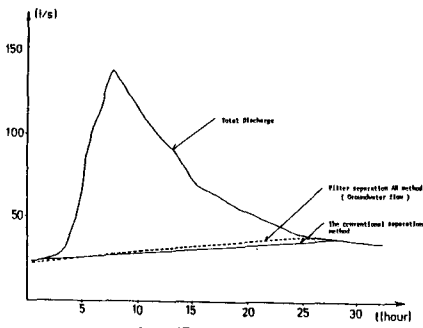


図-3

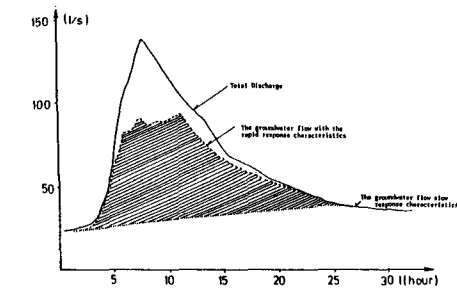


図-4

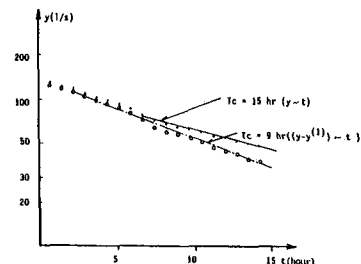


図-5

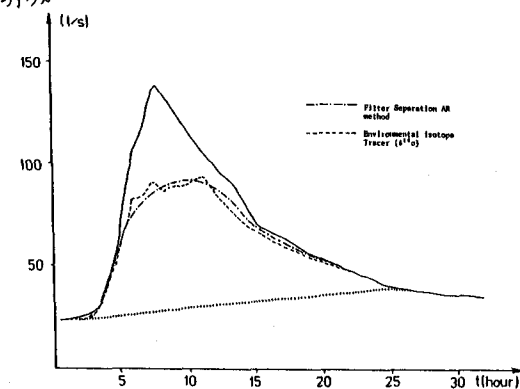


図-6